

УДК 535.375

© 1991

## КОМБИНАЦИОННОЕ РАССЕЯНИЕ СВЕТА

### В СИСТЕМЕ $(Y_{1-x}Gd_x)Ba_2Cu_3O_y$ И ВЗАИМОСВЯЗЬ СТРУКТУРЫ, КОЛЕБАТЕЛЬНЫХ СПЕКТРОВ И КРИТИЧЕСКОЙ ТЕМПЕРАТУРЫ В СВЕРХПРОВОДНИКАХ (123)

И. Н. Гончарук, М. Ф. Лимонов, Ю. Ф. Марков,  
А. А. Новиков, П. П. Сырников, А. Ш. Тураев

Для всего класса изоморфных сверхпроводников (123) установлено линейное возрастание  $T_c$  при увеличении частоты  $A_g$ -колебания, характеризующего протяженность спектра. Эта зависимость распространяется на соединения  $RBa_2Cu_3O_y$  ( $R$  — редкоземельный элемент), исследованную в данной работе смешанную систему  $(Y_{1-x}Gd_x)Ba_2Cu_3O_y$  и на  $YBa_2Cu_3O_y$ , в условиях гидростатического давления. Результаты свидетельствуют о существенной роли фононов в механизме высокотемпературной сверхпроводимости.

Фононы могут играть важную роль в спаривании носителей в высокотемпературных сверхпроводниках (ВТСП), поэтому анализ особенностей колебательных спектров этих соединений имеет принципиальное значение. Атомы кислорода расположены в различных плоскостях перовскитоподобных сверхпроводников (кристаллическая решетка (123) приведена на рис. 1, a), а их колебания несут достаточно полную информацию об изменениях структуры при различных модификациях состава сверхпроводящих соединений.

Для изучения взаимосвязи трансформации решетки, колебательного спектра и величины  $T_c$  была исследована не изучавшаяся ранее смешанная система  $(Y_{1-x}Gd_x)Ba_2Cu_3O_y$ . Образцы синтезировали по керамической технологии с последующим отжигом в кислороде или аргоне. У соединения  $(Y_{1-x}Gd_x)Ba_2Cu_3O_y$  варьировалась либо концентрация гадолиния ( $x=0, 0.2, 0.4, 0.6, 0.8$  и  $1.0$ ) при фиксированном содержании кислорода  $y \approx 7$ , либо концентрация кислорода ( $y=6$  и  $7$ ) при фиксированном содержании гадолиния  $x=1$ . В результате рентгеноструктурных измерений установлена ромбическая симметрия структуры  $(Y_{1-x}Gd_x)Ba_2Cu_3O_7$ .

В настоящей работе исследовали спектры комбинационного рассеяния (СКР) соединений  $(Y_{1-x}Gd_x)Ba_2Cu_3O_y$ , так как в этих спектрах достаточно четко проявляются колебания атомов кислорода. СКР изучали на тройном раман-спектрометре Z-24 (DILOR) с Ar-лазером Spectra-Physics,  $\lambda = 5145 \text{ \AA}$ , мощность излучения на образце  $P \leq 30 \text{ мВт}$ . СКР  $YBa_2Cu_3O_7$  (рис. 1) хорошо совпадают с известными из литературы [1-3]: в спектральной области колебаний атомов кислорода наблюдаются три относительно интенсивные линии  $\nu_1 = 336 \text{ см}^{-1}$ ,  $\nu_2 = 435 \text{ см}^{-1}$  и  $\nu_3 = 499 \text{ см}^{-1}$ . Колебание  $\nu_1$  соответствует противофазным, а  $\nu_2$  — синфазным смещениям по оси  $Z$  атомов кислорода, расположенных в плоскостях  $CuO_2$  (позиции O2 и O3 на рис. 1, a). Колебание  $\nu_3$  обусловлено смещениями по  $Z$  «мостиковых» атомов O4, принадлежащих плоскостям BaO. В СКР  $GdBa_2Cu_3O_7$  также

присутствуют эти три линии на частотах соответственно 329, 433 и 508 см<sup>-1</sup>. При промежуточных концентрациях  $x$  в СКР  $(Y_{1-x}Gd_x)Ba_2Cu_3O_7$ , наблюдается одномодовое поведение, т. е. каждому колебанию в чистых соединениях ( $x=0, 1$ ) соответствует только одно колебание в смешанных (рис. 1, 2). Одномодовое монотонное изменение частот указывает на хаотичное распределение атомов Y и Gd и отсутствие кластеров в смешанной системе  $(Y_{1-x}Gd_x)Ba_2Cu_3O_7$ .

На рис. 2 видно, что и при увеличении содержания кислорода  $y$  (переход от  $GdBa_2Cu_3O_6$  к  $GdBa_2Cu_3O_7$ ), и при замене Y на Gd (при постоянном значении  $y \approx 7$ ) колебания  $\nu_1$ ,  $\nu_2$  и  $\nu_3$  проявляют различное концентрационное смещение: частоты  $\nu_1$  и  $\nu_2$  уменьшаются, а  $\nu_3$  возрастает. Отметим, что аналогичное поведение частот при увеличении  $y$  наблюдалось

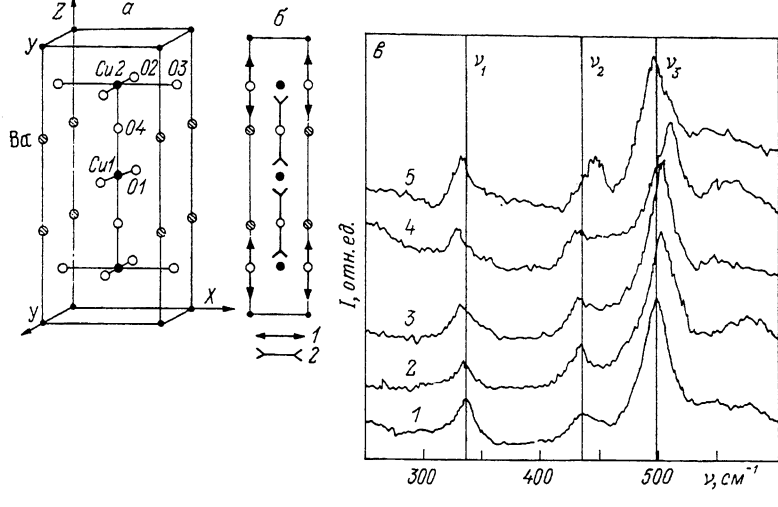


Рис. 1.

а — кристаллическая структура  $YBa_2Cu_3O_y$ , (123). б — проекция решетки (123) на плоскость  $XZ$  и схема изменения межатомных расстояний при переходе от соединения  $YBa_2Cu_3O_6$  к  $YBa_2Cu_3O_7$  [4']. 1 — увеличение длины связи, 2 — уменьшение длины связи, 3 — СКР соединений  $(Y_{1-x}Gd_x)Ba_2Cu_3O_7$ . 1 —  $x=0$ , 2 —  $x=0.4$ , 3 —  $x=0.6$ , 4 —  $x=1$ , 5 —  $GdBa_2Cu_3O_6$ .

в  $YBa_2Cu_3O_y$  [4-6]. Такой эффект можно связать с тем, что колебания определяются смещениями по  $Z$  атомов кислорода, принадлежащих разным плоскостям структуры (123), а ее перестройка имеет своеобразный характер. Назовем перестройку структуры «волнообразной» (подразумевая продольные по оси  $Z$  статические смещения атомов относительно исходных положений), в том случае когда при изменении состава одни межатомные расстояния увеличиваются, а другие одновременно уменьшаются. Согласно рентгеноструктурным данным [7], именно такая волнообразная перестройка происходит в системе  $YBa_2Cu_3O_y$  с увеличением содержания кислорода  $y$ : межатомное расстояние Cu1—Cu2 уменьшается, а Y—Ba возрастает (рис. 1, б). Аналогично при замене Y на редкоземельные атомы R с большими ионными радиусами возрастает параметр элементарной ячейки  $c$  [8] (от 11.67 до 11.70 Å при замене Y на Gd [9]), а длина связи Cu1—O4, наоборот, уменьшается [4]. Предположим, что частота колебаний возрастает с уменьшением длины связей с соответствующими соседними атомами. Тогда с увеличением содержания кислорода  $y$  либо концентрации Gd  $x$  частота  $\nu_3$ , отвечающая смещениям по  $Z$  атомов O4, находящихся в области «сжатия», должна ужесточаться, а частоты  $\nu_1$  и  $\nu_2$  атомов O2 и O3, расположенных в области «растяжения», должны смягчаться, что и наблюдается экспериментально.

Используя зависимости частот  $\nu_1$  и  $\nu_3$  от ионного радиуса редкоземельного элемента [10], получаем, что Y и Gd в  $(Y_{1-x}Gd_x)Ba_2Cu_3O_7$  находятся в зарядовом состоянии +3 и замещение Y  $\Rightarrow$  Gd является изовалентным.

Критическую температуру соединений<sup>1</sup> ( $(Y_{1-x}Gd_x)Ba_2Cu_3O_7$ ) определяли по зависимости  $\rho(T)$  четырехконтактным методом. У этих образцов переход в СП-состояние полностью завершался ( $\rho=0$ ) при  $T_c=92-93$  К, и, следовательно, разупорядоченность в подрешетке Y-Gd не приводит к снижению  $T_c$ . Величина  $T_c$  в  $GdBa_2Cu_3O_7$ , выше, чем в  $YBa_2Cu_3O_7$ , на  $\approx 0.5$  К. Эта же разность, по данным работы [8], составляет 0.4 К, а по данным [9], — 1.5 К.

Рассмотрим, как при различных изовалентных заменах<sup>1</sup> в структуре (123) меняются величина  $T_c$  и значение характеристической частоты, которая, как было показано [11], коррелированно возрастает при переходе от одного класса ВТСП-соединений к другому с большей  $T_c$  в последова-

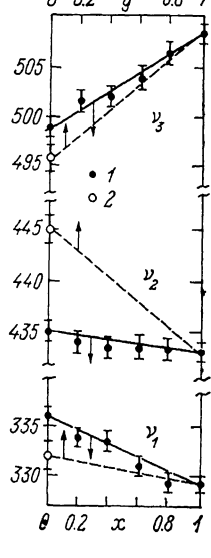


Рис. 2. Концентрационные зависимости частот  $\nu_1-\nu_3$  в  $(Y_{1-x}Cd_x)Ba_2Cu_3O_7$  (1) и частоты  $CdBa_2Cu_3O_6$  (2).

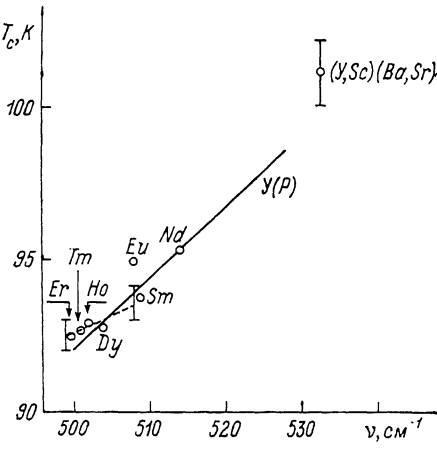


Рис. 3. Зависимость  $T_c$  от  $\nu_3$  для различных соединений со структурой (123). Точки —  $RBa_2Cu_3O_7$  и  $(Y, Sc)(Ba, Sr)_2Cu_3O_y$ . Штриховая линия —  $(Y_{1-x}Gd_x)Ba_2Cu_3O_7$ . Сплошная линия —  $YBa_2Cu_3O_7$  в условиях гидростатического давления.

тельности лантановые—иттриевые (123)—таллиевые (висмутовые) системы.. Во всех этих системах такая частота соответствует самому высокочастотному  $A_g$ -колебанию, характеризующему тем самым протяженность спектра. В классе (123) это колебание  $\nu_3$ , поляризованное по оси  $Z$  и являющееся связующим между Cu-содержащими плоскостями. На рис. 3 приведены значения  $T_c$  в зависимости от частоты  $\nu_3$  для различных изоморфных соединений  $RBa_2Cu_3O_7$  (величины  $T_c$  заимствованы из [8], а  $\nu_3$  — из [10]),  $(Y, Sc)(Ba, Sr)_2Cu_3O_y$  [11] и  $(Y_{1-x}Gd_x)Ba_2Cu_3O_7$ . Представлена также зависимость  $T_c(\nu_3(P))$  для  $YBa_2Cu_3O_7$  в условиях гидростатического давления (для расчета использовали следующие данные:  $d\nu_3/dP \approx 0.45$  см<sup>-1</sup>/кбар [12],  $dT_c/dP \approx 0.1$  К/кбар [13]). Видно, что все эти значения хорошо укладываются на одну общую линейную зависимость  $T_c(\nu_3)$ .

Выделим теперь два случая: во-первых, поведение структуры (123) при гидростатическом давлении и, во-вторых, при изовалентных заменах  $Y \Rightarrow R$ .

1. В условиях гидростатического давления (линейный рост  $T_c$  наблюдается до  $P \approx 100$  кбар [13]) происходит уменьшение параметров элементарной ячейки и межатомных расстояний, что приводит к увеличению

<sup>1</sup> При неизоморфном переходе от  $YBa_2Cu_3O_6$  к  $YBa_2Cu_3O_7$  коррелированное возрастание  $T_c$  и  $\nu_3$  отмечалось в [6].

колебательных частот. Отметим, что в работе [12] наблюдалось линейное возрастание не только частоты  $\nu_3$ , но и  $\nu_2$  (колебание атомов кислорода, принадлежащих плоскостям  $\text{CuO}_2$ ) на величину  $\approx 17 \text{ см}^{-1}$  при  $P \approx 65 \text{ кбар}$ .

2. При замещении Y на редкоземельные атомы большего радиуса ситуация противоположная: происходит увеличение всех параметров элементарной ячейки (например, при переходе от  $\text{YBa}_2\text{Cu}_3\text{O}_7$  к  $\text{NdBa}_2\text{Cu}_3\text{O}_7$ , это возрастание составляет  $\Delta a \approx \Delta b \approx 0.03 \text{ \AA}$ ,  $\Delta c \approx 0.08 \text{ \AA}$  [8]) и волнообразная перестройка структуры, которая проявляется в увеличении  $\nu_3$  и уменьшении частот  $\nu_1$  и  $\nu_2$  колебаний атомов кислорода в тех же  $\text{CuO}_2$ -плоскостях.

Подчеркнем, что в обоих случаях независимо от характера трансформации решетки (в том числе в области ответственных за сверхпроводимость плоскостей  $\text{CuO}_2$ ) величина  $T_c$  возрастает, причем единственным универсальным параметром оказывается частота  $\nu_3$ : наблюдается коррелированное увеличение  $T_c$  и этого наиболее высокочастотного колебания симметрии  $A_g$  (не только в классе (123), но и во всех сверхпроводниках вообще [11]), что может указывать на непосредственную зависимость  $T_c$  от протяженности колебательного спектра и на фоновую природу ВТСП.

Авторы благодарят М. Е. Бойко за проведение рентгеноструктурных исследований и А. А. Каплянского и А. Г. Панфилова за обсуждение работы.

#### Список литературы

- [1] Баженов А. В., Гаспаров Л. В., Кулаковский В. Д. и др. // Письма в ЖЭТФ. 1988. Т. 47. № 4. С. 162—165.
- [2] Кулаковский В. Д., Мисочки О. В., Тимофеев В. Б. // ФТТ. 1989. Т. 31. № 9. С. 220—230.
- [3] Лимонов М. Ф., Марков Ю. Ф., Поллерт Э., Триска А. // Письма в ЖТФ. 1988. Т. 14. № 13. С. 1235—1238.
- [4] Macfarlane R. M., Rosen H. J., Engler E. M. et al. // Phys. Rev. B. 1988. V. 38. N 1. P. 284—289.
- [5] Thomsen C., Liu R., Bauer M. et al. // Sol. St. Comm. 1988. V. 65. N 1. P. 55—58.
- [6] Гончаров А. Ф., Денисов В. Н., Зибов И. П. и др. // Письма в ЖЭТФ. 1988. Т. 48. № 8. С. 453—456.
- [7] Молчанов В. Н., Мурадян Л. А., Симонов В. И. // Письма в ЖЭТФ. 1989. Т. 49. № 4. С. 222—226.
- [8] Kistenmacher T. J. // Sol. St. Comm. 1988. V. 65. N 9. P. 981—985.
- [9] Inaba T., Takano Y., Sekizawa K. // Sol. St. Comm. 1989. V. 70. N 7. P. 725—727.
- [10] Cardona M., Liu R., Thomsen C. et al. // Sol. St. Comm. 1988. V. 65. N 1. P. 71—75.
- [11] Буш А. А., Дубенко И. С., Лимонов М. Ф. и др. // Письма в ЖЭТФ. 1989. Т. 50. № 5. С. 250—253.
- [12] Кулаковский В. Д., Мисочки О. В., Тимофеев В. Б. и др. // Письма в ЖЭТФ. 1988. Т. 47. № 10. С. 536—539.
- [13] Берман И. В., Брандт Н. Б., Грабой И. Э. и др. // Письма в ЖЭТФ. 1988. Т. 47. № 12. С. 634—637.

Физико-технический  
институт им. А. Ф. Иоффе  
Ленинград

Поступило в Редакцию  
15 ноября 1990 г.